

СПОСОБ ПОВЫШЕНИЯ ТОЧНОСТИ МНОГОШКАЛЬНЫХ ЦИФРО - АНАЛОГОВЫХ ПРЕОБРАЗОВАТЕЛЕЙ

И.Г.Кирищенко

Морской гидрофизический институт
НАН Украины
г. Севастополь, ул. Капитанская, 2
E-mail: oaoi@alpha.mhi.iuf.net

Согласно оценке точности измерений гидрологических элементов [1], к гидрофизической аппаратуре предъявляется ряд основных требований, к которым относятся высокая точность, разрешающая способность, монотонность характеристики преобразования и технологичность изготовления.

В настоящее время уже созданы зондирующие СТД-комплексы, которые практически удовлетворяют выше отмеченным требованиям в диапазоне глубин до 4000 м. В первую очередь необходимо отметить зондирующие комплексы Mark III [2], Mark V [3], Исток-7 [4], SBE - 911 plus [5], однако используемые в их схемах 16-ти и более разрядные цифровые преобразователи требуют при их индивидуальном производстве существенных материальных затрат, ручного труда, высокопрофессиональной настройки и эксплуатации. В главной мере это касается создания основных функциональных узлов - цифроаналоговых преобразователей (ЦАП) как на постоянном, так и на переменном токе.

В приборах Mark III, Mark V используются только индуктивные (трансформаторные) управляемые делители напряжения во всех разря-

дах ЦАП, в Исток-7 - комбинированный ЦАП, суть комбинации которого состоит в следующем.

Младшие разряды ЦАП выполнены на промышленной интегральной 12-разрядной микросхеме 572 ПА2А, у которой использованы 11 старших разрядов, а пять старших разрядов ЦАП - на трансформаторном делителе. Комбинированный ЦАП оказался несколько менее трудоемким при изготовлении, однако возникла проблема, присущая именно комбинированным типам ЦАП - "стыковка шкал" части ЦАП на индуктивных делителях со шкалой ЦАП, выполненной на основе интегрального узла. Несогласованность шкал при настройке или появление несогласованности из-за температурных и временных изменений элементов, используемых для согласования шкал, приводит к появлению дифференциальной нелинейности характеристики комбинированного ЦАП и к возможным автоколебаниям в цифровой следящей системе, на основе которой созданы измерительные каналы зонда ИСТОК-7.

Цель данной работы - показать иной способ повышения точности цифроаналогового преобразователя, применение которого позволяет на базе интегрального промышленного ЦАП уменьшить дифференциальную нелинейность, достичь необходимую разрешающую способность и исключить при этом проблему "стыковки шкал".

Суть способа состоит в широтно-импульсной модуляции наименьшей части диапазона $\Delta U_{ЦАПi}$, определяемой текущим шагом квантования исходного (интегрального) ЦАП с к-

используемыми разрядами. Изменение длительности импульса с амплитудой текущего шага квантования $\Delta U_{ЦАП}$ производится на фоне выходного сигнала интегрального ЦАП, определяемого его k разрядами, прямо пропорционально числу из m дополнительных младших разрядов. Соблюдение этой пропорциональности позволяет достичь необходимой разрешающей способности простым наращиванием дополнительных разрядов по всему диапазону изменения выходного сигнала. Сигнал с выхода ЦАП, соответствующий входному n -разрядному коду, формируют с помощью усреднения за время $T_Ц$, кратное интервалу времени, в пределах которого производят широтно-импульсную модуляцию текущего шага квантования.

Из предложенного способа видно, что количество разрядов ЦАП n , проектируемого по предложенному способу равно $k+m$. Это свидетельствует о том, что и в данном случае имеет место стыковка диапазонов, обусловленных старшими k и младшими m разрядами.

Проиллюстрируем способ на конкретном примере формирования одного значения выходного сигнала ЦАП в различных точках диапазона [6].

На рис. 1 изображена ступеньчатая кривая, отображающая функцию преобразования ЦАП с широтно-импульсной модуляцией текущего шага квантования $\Delta U_{ЦАП}$ по предложенному способу до осреднения выходного сигнала, координаты которой во временной и кодовой области совмещены по оси абсцисс.

Текущий шаг квантования $\Delta U_{ЦАП}$, на базе которого строят плавную шкалу диапазона преобразования ЦАП, получают следующим образом.

При любом значении N_{ex} , т.е. в любой точке диапазона преобразования, к целому числу $\left[\frac{N_{ex}}{2^m} \right]$, определяемому k используемыми разрядами ЦАП, добавляют единицу, инициируя тем самым на выходе ЦАП сигнал, увеличенный по амплитуде ровно на величину текущего шага квантования $\Delta U_{ЦАП}$. Добавленную единицу на входе ЦАП устанавливают на промежуток времени пропорциональный остатку, равному $\left\{ \frac{N_{ex}}{2^m} \right\}$. На рис. 1 этот момент изображен в виде заштрихованной области - изменяемого импульса амплитудою $\Delta U_{ЦАП}$ на фоне сигнала, определяемого целым числом $\left[\frac{N_{ex}}{2^m} \right]$,

при $N_{ex}=1$, $N_{ex}=10$ и $N_{ex}=19$.

Необходимо отметить, что в зависимости от реализации этот импульс может быть размещен в любом интервале времени в рамках периода осреднения выходного сигнала $T_Ц$.

Из рис. 1 видно, что при изменении входного кода среднее значение сигнала на выходе используемого ЦАП за время $T_Ц$, определяемое циклом формирования одного значения, в любой точке диапазона для идеального делителя может быть определено из следующего выражения:

$$U_{\text{квн}} = \frac{1}{T_y} \int_{t_1}^{t_2} U_{\text{квн}} dt = T_y \cdot \Delta U_{\text{квн}} \left[\frac{N_{\text{ex}}}{2^m} \right] +$$

$$+ \Delta U_{\text{квн}} \cdot T_y \left\{ \frac{N_{\text{ex}}}{2^m} \right\} = \frac{\Delta U_{\text{квн}}}{2^m} N_{\text{ex}} \quad (1)$$

где $\left[\frac{N_{\text{ex}}}{2^m} \right]$ - целая часть дроби, не

превосходящая $\frac{N_{\text{ex}}}{2^m}$;

$\left\{ \frac{N_{\text{ex}}}{2^m} \right\}$ - остаток дроби $\frac{N_{\text{ex}}}{2^m}$.

Если теперь учесть, что вес одного младшего используемого разряда интегрального ЦАП пропорционален 2^m младшим разрядам преобразуемого кода, то можно записать:

$$U_{\text{квн}} = \Delta U' \cdot N_{\text{ex}} \quad (2)$$

где $\Delta U' = \Delta U_{\text{квн}} / 2^m$ и есть вес младшего разряда, полученного после применения предложенного способа повышения точности цифроаналогового преобразователя, что свидетельствует о достижении необходимой разрешающей способности.

Пусть дифференциальная нелинейность реально используемого ЦАП равна $\delta'_{\text{д.д.}}$, тогда, согласно выражению (2), реальный шаг квантования в любой точке диапазона преобразования может быть определен так:

$$\Delta U = \frac{\Delta U_{\text{ЦАП}} + \delta'_{\text{д.д.}}}{2^m} = \Delta U' + \delta_{\text{д.д.}} \quad (3)$$

где $\delta_{\text{д.д.}} = \delta'_{\text{д.д.}} / 2^m$ - полученная дифференциальная нелинейность, а это свидетельствует об уменьшении дифференциальной нелинейности после применения предложенного способа повышения точности.

Если при этом выполнить условие

$$\frac{\delta'_{\text{д.д.}}}{\Delta U_{\text{ЦАП}}} \leq 1, \text{ что легко обеспечить путем}$$

неиспользования младших разрядов интегрального ЦАП, то дифференциальная нелинейность будет такова, что появление немонотонности вообще исключается.

Если теперь учесть, что реальный шаг квантования с любой имеющейся дифференциальной нелинейностью в любой точке диапазона преобразования всегда будет разбит на 2^m одинаковых частей, то появление погрешности от нестыковки "грубого" и "плавного" диапазонов в предложенном способе повышения точности исключено.

Этот момент проиллюстрирован на рис. 2, где изображена ступенчатая кривая соответствующая характеристике преобразования ЦАП после осреднения выходного сигнала за время T_y . На рисунке толстой линией показаны "грубые" дискреты, соответствующие старшим к разрядам при изменении входного кода ЦАП от 0 до какого-то промежуточного значения, а тонкой линией показаны "плавные" дискреты, полученные в процессе широтно-импульсной модуляции "грубого" дискрета и последующего осреднения выходного сигнала за период T_y в каждой точке диапазона согласно способу повышения точности.

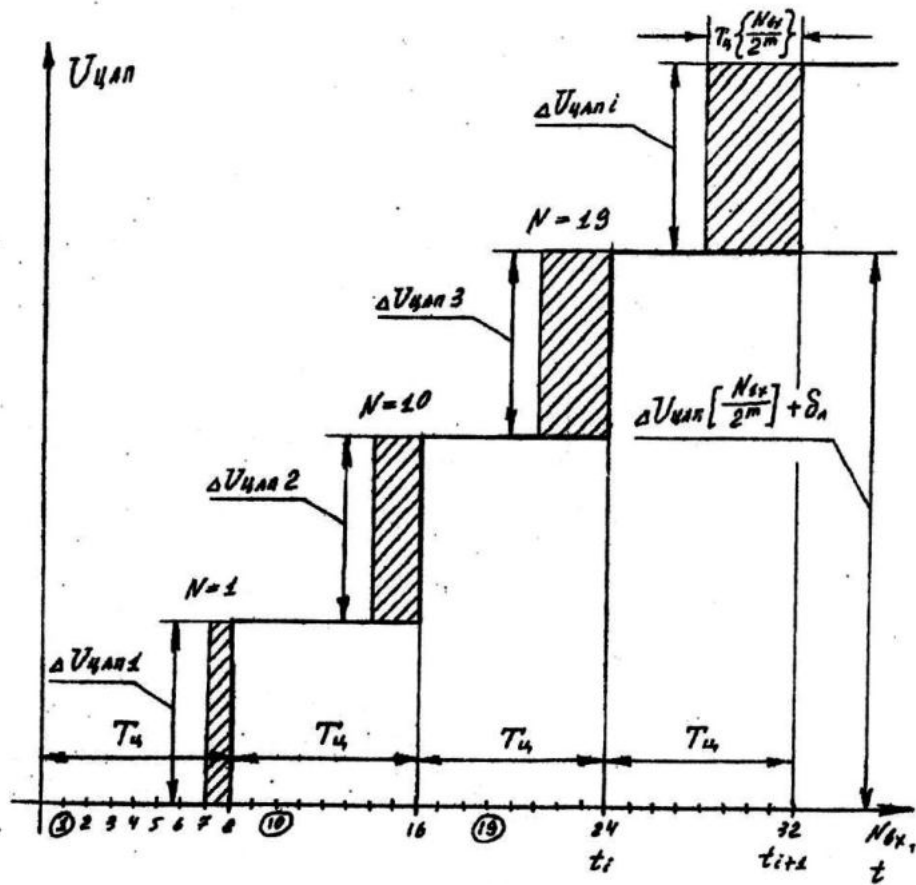


Рис.1

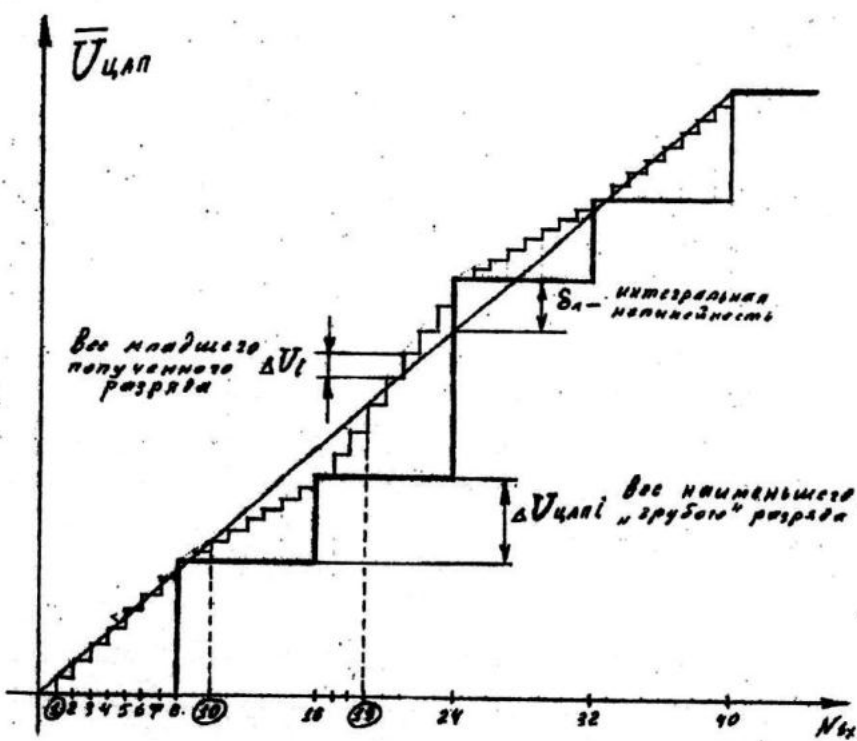


Рис.2

Однако надо иметь ввиду, что предложенный способ позволяет лишь уменьшить дифференциальную нелинейность, точно состыковать "грубый" и "плавный" диапазоны, путем простого наращивания младших разрядов повысить разрешающую способность, но оставляет неизменной интегральную нелинейность δ_u , присущую любому используемому ЦАП, о чем свидетельствует неодинаковость наименьшего шага квантования ΔU_i по всему диапазону, что и проиллюстрировано на рис. 2.

Покажем теперь, что этот метод можно использовать и при построении измерительных цифровых устройств, в которых ЦАП работает на переменном токе.

Пусть на интервале усреднения T_u укладывается 2^m периодов T синусоидального напряжения питающего ЦАП, т.е. $T = \frac{T_u}{2^m}$. Надо отметить, что операция усреднения всегда имеет место в выше указанных известных приборах после фазового детектирования переменного сигнала с выхода ЦАП.

Если число из m младших разрядов ЦАП равно 0, то сигнал на выходе ЦАП до усреднения будет иметь вид синусоиды с одинаковой амплитудой, равной

$$\dot{\Delta U}_{\text{ЦАП}} \left[\frac{N_{ex}}{2^m} \right] + \dot{\delta}_u.$$

Если код на входе ЦАП с усреднением будет таким, что число из m младших разрядов не равно 0, то сигнал на выходе ЦАП до усреднения примет вид синусоиды с изменяющейся за период T_u амплитудой на

величину $\Delta U_{\text{ЦАП}}$, которая подвергается широтно-импульсной модуляции, согласно предлагаемому способу, с временной дискретностью, равной периоду переменного напряжения, питающего ЦАП, т.е. $\frac{T_u}{2^m}$.

Например, если число из m младших разрядов равно 1, то переменный сигнал на выходе ЦАП станет равным $\dot{U}_{\text{ЦАП}} + \dot{\Delta U}_{\text{ЦАП}}$ ровно за 1 период питающего ЦАП напряжения до конца интервала усреднения.

Если число равно 2 - за 2 периода, при входном коде равном какому-то промежуточному значению N_i - за количество периодов равное $2^m \left\{ \frac{N_i}{2^m} \right\}$ до конца интервала усреднения T_u , а амплитуда, относительно которой происходит приращение на $\dot{\Delta U}_{\text{ЦАП}}$, будет равна $\dot{\Delta U}_{\text{ЦАП}} \left[\frac{N_i}{2^m} \right] + \dot{\delta}_u$.

Из приведенного примера становится понятным, что огибающая синусоидального сигнала на выходе ЦАП при изменении входного кода должна полностью соответствовать выходному сигналу ЦАП в случае, если бы его питали постоянным током.

На рис. 3а проиллюстрирована форма выходного сигнала используемого ЦАП при питании его постоянным током до осреднения во временных координатах, все размеры которой даны в обозначениях, изложенных выше. А на рис. 3б проиллюстрирована форма выходного сигнала используемого ЦАП при пита-

ния его переменным током так, что огибающая переменного выходного сигнала соответствует форме выходного сигнала ЦАП при питании его постоянным током, с той лишь разницей, что время формирования одного значения $T_{Ц}$ кратно 2^m периодам питающего тока. В данном случае величина кратности равна 1.

В вышеупомянутом рабочем ПКНК зонда "Исток-7" частота питания составляет 10 кГц, а для нормальной работы цифрового преобразователя в целом после детектора информационный сигнал усредняют за $10 \div 30$ периодов переменного тока, т.е. за $1 \div 3$ мс, не менее. Если обозначить период переменного тока, как T , то при $m=3$ достаточно осреднить информационный сигнал всего за $8T$. Впрочем число m будет зависеть от выбранного интегрального ЦАП и общего количества разрядов. Отсюда следует вывод, что пока время цикла преобразования (а оно совпадает с временем осреднения) будет соизмеримо с $10 \div 30 T$, то вполне возможно применить предложенный способ для уменьшения дифференциальной нелинейности до уровня монотонности характеристики преобразования в местах стыковки диапазонов при питании ЦАП переменным током и, следовательно, обойтись без трансформаторного делителя, т.е. повысить технологичность выполнения прибора.

Однако надо иметь ввиду, что если мы отказываемся от применения трансформаторного делителя, то интегральная нелинейность, а также временная и температурная нестабильности параметров ЦАП будут

определяться паспортными характеристиками выбранного интегрального ЦАП, а описание и калибровку характеристик при необходимости придется возложить на алгоритмические методы.

Автор выражает признательность В.И.Забурдаеву за предоставленные материалы в части известной гидрофизической аппаратуры и точностных требований к ним.

ЛИТЕРАТУРА

1. Забурдаев В.И. Оценка точности измерений гидрологических элементов и точности навигации при исследовании установившейся циркуляции на основе геострофического соотношения // Сб. научных трудов "Системы контроля окружающей среды". МГИ НАН Украины, - Севастополь, 1998, С. 49-55.
2. Mark III. Digital Conductivity, Temperature and Pressure Measuring System. Проспект фирмы Neil Brown Instrument System, Inc. (США).
3. Mark V. CTD. Проспект фирмы EG and G (Marine Instruments) США.
4. Гайский В.А., Забурдаев В.И., Иванов А.Ф., Клидзио А.Н., Нечесин Е.Г., Никифоров Э.Г., Шаповалов Ю.И. Гидролого-химический зонд Исток-7: Аппаратурные и алгоритмически-программные решения. МГИ НАНУ // В сб. трудов научной конференции 29.09 - 03.10.1997 г., - Севастополь - п. Кацивели (Крым). Под ред. чл.-корр. НАНУ В.Н.Еремеева.
5. Arthur M. Pederson. A modular high resolution CTD - system with

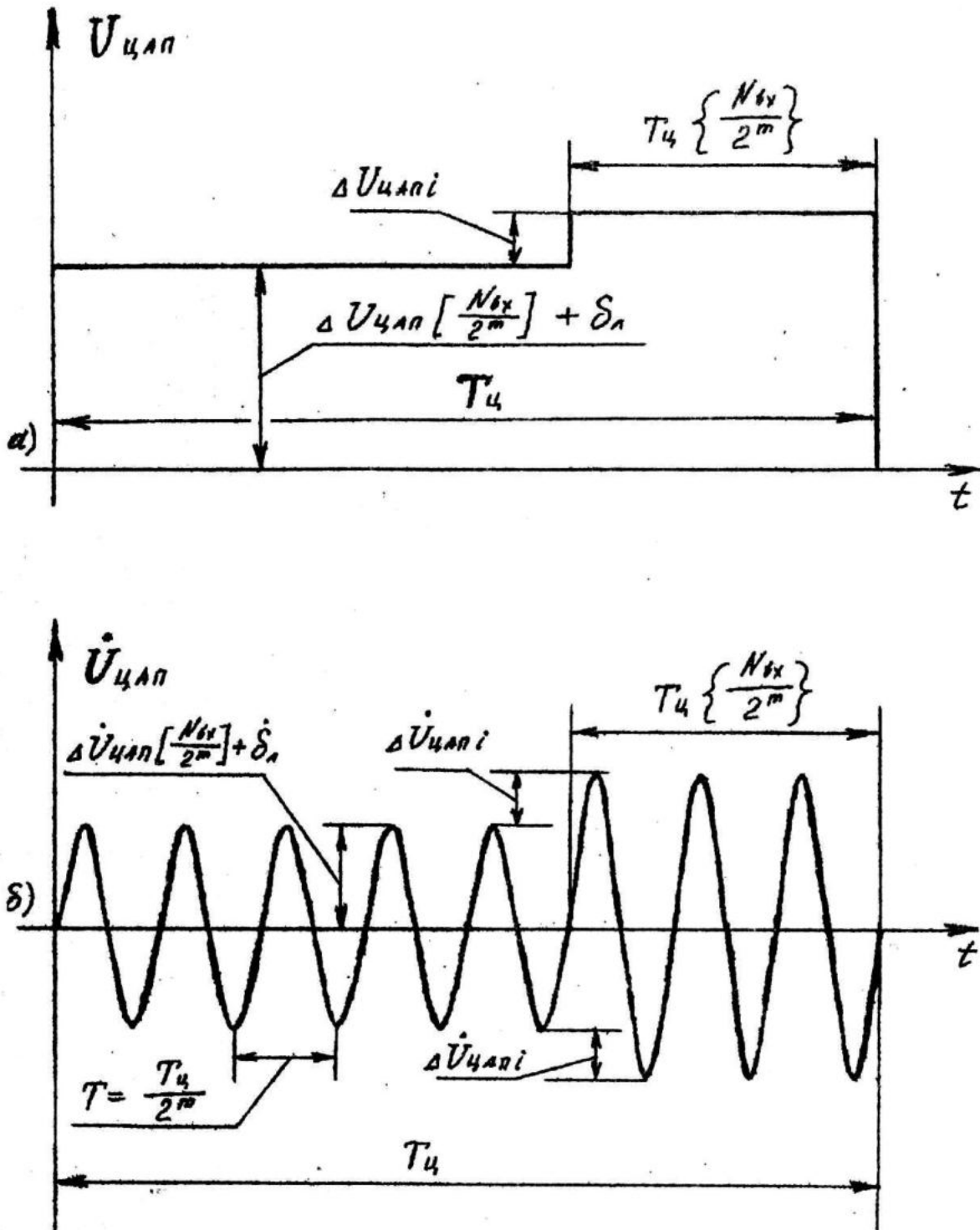


Рис.3

computer-controlled sample rate. STD Conference and Workshop, San Diego, February, 1984.

6. А.С. СССР № 1642587. Кириющенко И.Г., Глебов И.И. Цифро-

аналоговый преобразователь с усреднением выходного напряжения. Опубл. 15.04.91. Бюл. № 14.